

SEKTÖRİZE HÜCRESEL İLETİŞİM SİSTEMLERİNİN BAŞARIM ANALİZİ

Aysel ŞAFAK, Baran USLU

Elektrik-Elektronik Müh. Bölümü,
Başkent Üniversitesi, Bağlıca Kampüsü, 06530 Ankara
asafak@baskent.edu.tr
ibuslu@baskent.edu.tr
fax: (0312) 234 1051

ÖZET

Çeşitli modülasyon metodları hesaba katılarak, sektörize hücresel iletişim sistemlerinin bit hata olasılığı ve spektrum verimliliği cinsinden başarımı hesaplandı. Sayısal hücresel gezgin iletişim sistemlerinin başarımı, istenen ve girişim sinyallerinin Gauss gürültülü, Rician/Rayleigh sönümlülemeli ve iletimi gölgelemeli olduğu ortamlarda, çift eğimli yol kaybı modeli kullanılarak incelendi. Ayrıca, çeşitli kanallar için sistemin bit hata oranı (BER) karşılaştırıldı. Kullanılan anten tipinin, sektör açısının, frekans tekrarlama aralığının, sinyaller arasındaki iletimi katsayısunun, Rice faktörünün, bit enerjisi-gürültü yoğunluğu oranının (E_b/N_0), trafik yükünün diferansiyel faz kaydırımlı anahtarlama modülasyonlu (DPSK) sayısal hücresel iletişim sistemlerinin başarımı ve sistem kapasitesi üzerindeki etkileri incelendi.

ANAHTAR KELİMELER

Sektörizasyon, hücre sektörleme, sektör açısı, sektör sistemi

1. GİRİŞ

Kullancı sayısı arttıkça, sistem performansını bozmadan daha fazla sayıda aboneye servis vermek için hücresel sistemin kapasitesinin genişletilmesi gereklidir. En yaygın sistem genişletme teknikleri; yeni kanal eklenmesi, frekans ödünc alınması, hücresel yapının değiştirilmesi, hücre bölünmesi, sabit ve dinamik kanal tahsis algoritmaları ve sektörizasyon olarak sınıflandırılabilir.

Sektörizasyon yönteminde her hücre 120° , 60° gibi sektörlerde bölünür. Her sektörde aynı bir yönlü (directional) anten ve kanal grubu tahlis edilerek trafik kapasitesi artırılır. Her sektörde yeni bir hücre gibi düşünülmüştür. Baz istasyonlar her hücrenin merkezine veya köşesine yerleştirilir. Birinci durumda hücreler merkez-ışınmalı (center-excited) hücreler, ikinci durumda hücreler köşe-ışınmalı (corner-excited) hücreler olarak tanımlanır. Sektörizasyon yönteminde yönlü antenlerin kullanımını bit hata olasılığını azaltarak aynı frekansı kullanan hücrelerin daha yakın

yerleştirilebilmelerine, dolayısıyla kapasite artırma olanak sağlar.

Analog sektörize iletişim sistemlerinin başarımı ve spektrum verimliliğinin incelenmesi çeşitli yıllarda sunuldu[1-3]. Sayısal iletişim sistemlerinin başarımı ve spektrum verimliliği üzerinde sektörizasyonun etkisi, bugüne kadar sınırlı çalışmalar dışında yayınlanmamıştır[4-8]. Bu bildiride, çeşitli modülasyon metodları için belirli sistem parametreleri göz önünde bulundurularak, sayısal hücresel iletişim sistemlerinin hem başarımı, hem de sistem kapasitesi üzerinde sektörizasyonun etkileri incelenmiştir.

2. HÜCRE SEKTÖRLEME

Her hücrenin, yönlü antenlerin kullandığı radyal sektörlerde bölündüğü hücre sektörleme metodu, ortakkanal girişimine karşı performansı artırmamak için hücresel sistemlerde kullanılan çok yaygın bir metottur. Her hücreye tahlis edilen taşıyıcılar hücre sektörlerine ait alt gruplara bölünürler. Hücre sektörleme plamı, N_s ; petek başına baz istasyon sayısını ve S_s ; baz istasyon başına sektör sayısını göstermek üzere ($N_s \times S_s$) formülünde uygun olarak yapılr.

120° ve 60° hücre sektörleme sistemlerinde girişim yapan kullanıcılar Şekil. 1'de görülmektedir. Yönlü antenlerin kullanımından dolayı, 120° hücre sektörleme sisteminde girişim yapan kullanıcıların sayısı alttan ikiye, 60° sisteminde bire düşer. Heryönlü (omnidirectional) anten sisteminde en kötü durum için taşıyıcı-girişim oranı aşağıdaki formülle verilir[1]:

$$\frac{\xi_d}{\xi_u} = \frac{1}{6(R_s - 1)^{-4}} \quad (I)$$

Heryönlü anten sistemleri için, Rician/Rayleigh sönümlülemeli ve gölgelemeli ortamda frekansı yeniden kullanım aralığının(R_s), Rice faktörünün(K), iletimi katsayısunun(ρ), sinyal-gürültü oranının(E_b/N_0) bit hata oranı üzerindeki etkileri Şekil. 2'de görülmektedir.

120° hincde sektörlme sisteminde taşıyıcı-girişim oranı:

$$\frac{\xi_d}{\xi_s} = \frac{1}{(R_s + 0.7)^{-4} + R_s^{-4}} \quad (2)$$

120° yönlü anten sistemleri için, Rician/Rayleigh sümümlü ve gölgelemeli ortamda frekansı yeniden kullanın aralığının(R_s), Rice faktörünün(K), ılımlı katsayısunun(ρ), sinyal-giriltili oramının(E_b/N_0) bit hata oranı üzerindeki etkileri Şekil. 3'te görülmektedir.

Bir hileciyi, altı tane 60° lik yönlü anten kullanarak altı tane sektöre bölebiliriz. Bu durumda her sektöre için sadece bir girişim yapan kullanıca vardır. (7x6) sektörlme sistemi için taşıyıcı-girişim oranı:

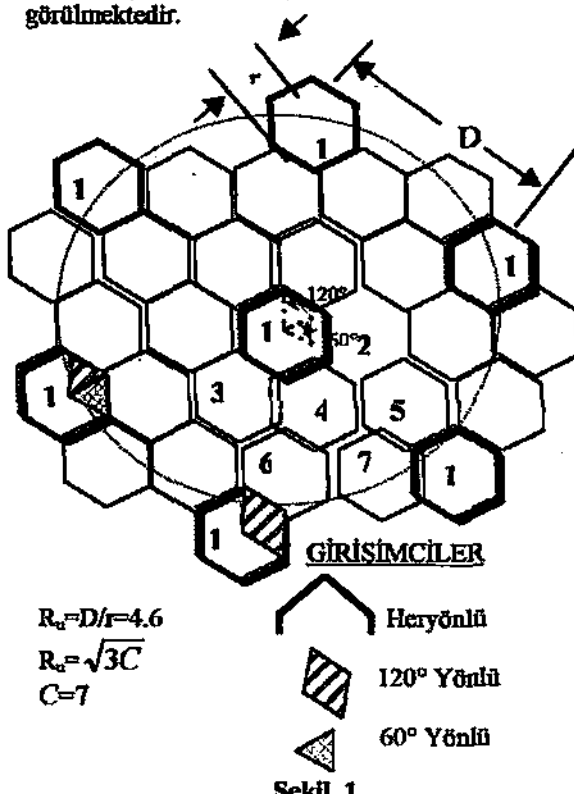
$$\frac{\xi_d}{\xi_s} = (R_s + 0.7)^4 \quad (3)$$

(4x6) sektörlme sistemi için taşıyıcı-girişim oranı:

$$\frac{\xi_d}{\xi_s} = (R_s + 1)^4 \quad (4)$$

60° yönlü anten sistemleri için, Rician/Rayleigh sümümlü ve gölgelemeli ortamda frekansı yeniden kullanın aralığının(R_s), Rice faktörünün(K), ılımlı katsayısunun(ρ), sinyal-giriltili oramının(E_b/N_0) bit hata oranı üzerindeki etkileri Şekil. 4'te görülmektedir.

Şekil. 2, 3 ve 4'te görüldüğü gibi frekans tekrarlaması aralığının, petek bilyüklüğünün, Rice faktörünün, sinyal-giriltili oramının ve sinyaller arasındaki ılımlı katsayısunun bilyük değerlerine göre bit hata oranı düşmektedir. Şekil. 2, 3 ve 4 karşılaştırıldığında sektörlizasyonun artmasıyla bit hata oranının azaldığı görülmektedir.



Yedi Hicreli Sistemde Girişim Yapan Hücreler

3. BİT HATA OLASILIGI

Hareketli iletişim sistemlerinde bit hata olasılığı P_n , aşağıdaki denklemle verilir[4]:

$$P_n = \sum_{n=1}^6 \binom{6}{n} P_n(e|n) ac^n (1-ac)^{6-n} \quad (5)$$

Burada n :elkin ortak kanal girişim sinyallerinin sayısını, ac :Erlang cinsinden kanal başına taşınan trafiği göstermektedir. n tane aktif ortakkanal girişim sinyallerinin varlığında ve Rice sümümlü ortamlarda nonkoherent DPSK&FSK için şartlı hata olasılığı $P_n(e|n)$:

$$P_n(e|n) = \frac{1}{2(1+R)} e^{\left(\frac{-K_d R}{1+R}\right)} \quad (6)$$

Burada, Rice faktör $K_d = P_{od}/P_{od}'$ ve istenen sinyalin yerel ortalama güçü $P_{od}=P_{od}+P_{od}'=P_{od}(1+K_d)$ dir. P_{od} , istenen sinyalin alıcıya direkt ulaşan (LOS) bileşenlerinin toplamını ve P_{od}' , yansiyarak gelen (diffüse) bileşeni gösterir.

$$R = \frac{P_{od} T_b}{AP_{od} T_b + BN_0} = \frac{1}{1+K_d} \left[\frac{1}{\frac{A}{P_{od}/P_{od}} + \frac{B}{E_b/N_0}} \right] \quad (7)$$

Nonkoherent DPSK için; $A=B=1$, nonkoherent FSK için; $A=B=2$ dir. Koherent BPSK&SK için;

$$P_n(e|n) = (1/2) erfc(P_d T_b / AP_{od} T_b + BN_0)^{1/2} \quad (8)$$

Burada $E_b/N_0 = P_{od} T_b / N_0$ 'dır. N_0 Gauss istatistikli giriltili yoğunluğun ve T_b bit süresini gösterir. Frekansı yeniden kullanın aralığı, $R_s = D/r$ ve yol kayıp eğrisinin dömit noktası, $G=g/r$ olmak üzere,

$$P_{od}/P_{od} = R_s^{-a} [(G + R_s)/G + 1]^p / n \quad (9)$$

ile verilmiştir. $K_d=0$ için (6) denklemi Rayleigh sümümlü ve $K \rightarrow \infty$ için sümümsüz duruma dönüştür. İstenen sinyali gölgelemeli LOS bileşeni ve Rice sümümlü olduğunda, şartlı hata olasılığı $P_n(e|n)$,

$$P_n(e|n) = \frac{1}{2\sqrt{2\pi}(1+R)} \int_{-\infty}^{\infty} e^{-t^2/2} e^{\left(\frac{-K_d R}{1+R} e^{-at}\right)} dt \quad (10)$$

Burada $K_d' = \exp(m_{sd})/P_{od}$ dir. İstenen ve interferans sinyallerinin tamamen ılımlı gölgelemeli olması durumunda, şartlı hata olasılığı $P_n(e|n)$,

$$P_n(e|n) = \int_{-\infty}^{\infty} \int_{-\infty}^{\infty} \frac{1}{2(1+R)} e^{-\left(\frac{X_0 R}{1+R}\right)} f_{P_{0d}, P_{0u}}(P_{0d}, P_{0u}) dP_{0d} dP_{0u} \quad (11)$$

Burada R, (7) denklemi ile tamamlanmıştır. R ifadesindeki $E_b/N_0 = (T_b E_b / N_0) e^{\sigma_d^2}$ dir. R denklemindeki P_{0d}/P_{0u} , aşağıdaki şekilde tamamlanır.

$$\frac{P_{0d}}{P_{0u}} = \left(\frac{G+R_s}{G+1} \right)^b R_s^a e^{[m - m + (\alpha_d - \alpha_u \xi_d) b - \alpha_s \sqrt{1 - \rho_d} y]} \quad (12)$$

Burada

$$x = \tau_d = \frac{1}{\sigma_d} \ln \frac{P_{0d}}{\xi_d}$$

$$y = (\tau_s - \rho_{d,u} \tau_d) / (1 - \rho_{d,u})^{1/2}$$

$$\tau_s = \frac{1}{\sigma_s} \ln \frac{P_{0d}}{\xi_u} \quad (13)$$

ξ_d , ξ_u istenen ve toplam enterferans sinyallerinin alan ortalama güçüdür. R_s , en yakın ortakkanal hizrelerinin merkezleri arasındaki D uzaklığının, r hizre yarıçapına oram olarak tanımlanmıştır. α_s standart sapmayı, m , logaritmik ortalama güç, $\rho_{d,u}$ ise istenen sinyal ile n tane ılımlı gölgelemeli enterferans sinyallerinin toplamı arasındaki ılımlı katsayıdır.

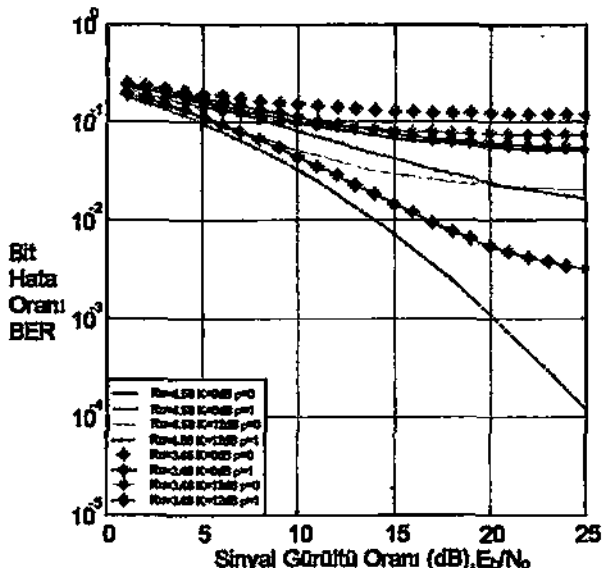
Altgensel yapıda hizresel radyo sistemleri için spektrum verimliliği, (12) ile tamamlanmıştır.

$$E_s = \frac{ac}{WKS_c} = \frac{ac\eta}{R_b K S_c} \text{ erlang/MHz/km}^2 \quad (14)$$

Burada ac (erlang) kanal başına taşıman trafiği, W(MHz)= R_b/η kanal başına bant genişliği, $S_c(\text{km}^2)$ hizre alanı, $K=R_c/3$ öbek başına hizre sayısını, η kullanılan modülasyon tekniğinin etkin bant genişliğini, R_b data hızını gösterir.

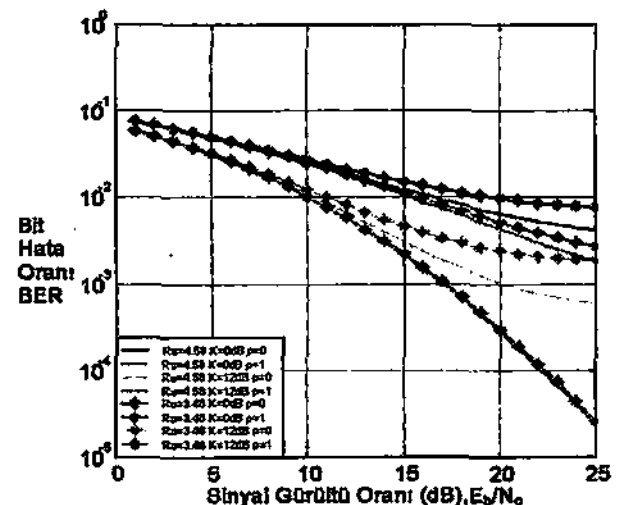
Heryönlü anten sistemleri için Rician/Rayleigh sümüleme ve gölgelemeli ortamda Rice faktörünün(K) ve kanal başına trafığın(ac) spektrum verimliliği üzerindeki etkileri Şekil. 5'te görülmektedir. Burada, toplam bit hata oranının alınan sabit bir değeri için Rice faktörünün ve trafik parametresinin artmasıyla spektrum verimliliği artmaktadır.

Rician/Rayleigh sümüleme ve gölgelemeli ortamda, Rice faktörünün(K) ve ılımlı katsayısunun(ρ) spektrum verimliliği üzerindeki etkileri, heryönlü anten sistemleri için Şekil. 6'da, 120° yönlü anten sistemleri için Şekil. 7'de görülmektedir. Şekil. 6'da, Rice faktörünün ve sinyaller arasındaki ılımlı katsayısunun artmasıyla spektrum verimliliğinin alınan sabit bir değeri için bit hata oranı azalmakta dolayısıyla sistemin başarımı artmaktadır. Şekil. 6 ve 7 karşılaştırıldığında sektörizasyonun artmasıyla bit hata oranı düşmektedir.



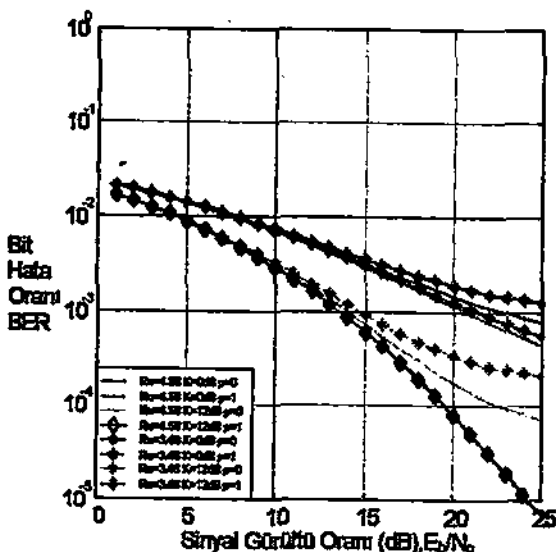
Şekil. 2

Heryönlü anten sistemleri için, Rician/Rayleigh sümüleme ve gölgelemeli ortamda frekansı yeniden kullanım aralığının(R_c), Rice faktörünün(K), ılımlı katsayısunun(ρ), sinyal-gürültü oranının(E_b/N_0) bit hata oranı üzerindeki etkileri.



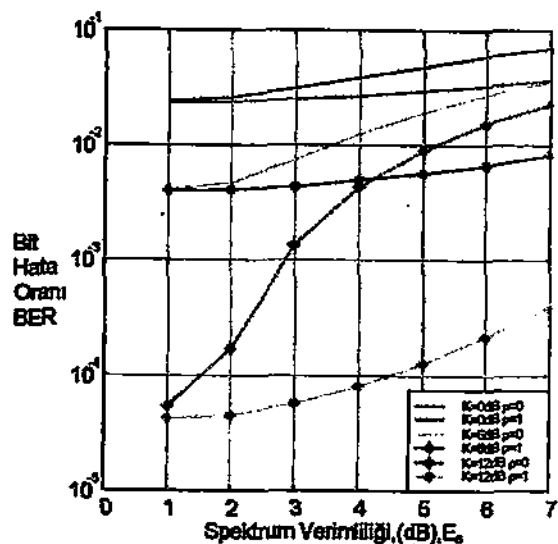
Şekil. 3

120° yönlü anten sistemleri için, Rician/Rayleigh sümüleme ve gölgelemeli ortamda frekansı yeniden kullanım aralığının(R_c), Rice faktörünün(K), ılımlı katsayısunun(ρ), sinyal-gürültü oranının(E_b/N_0) bit hata oranı üzerindeki etkileri.



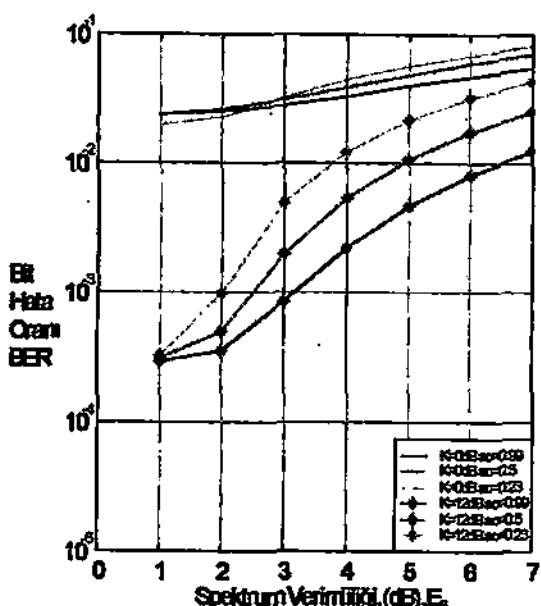
Şekil 4

60° yonlulu anten sistemleri için Rician/Rayleigh sümümlenmemeli ve gülgelemeli ortamda frekansı yeniden kullanma aralığının(R_c), Rice faktörünün(K), ilinti katsayısunun(ρ), sinyal-gürültü oranının(E_b/N_0) bit hata oranı üzerindeki etkileri.



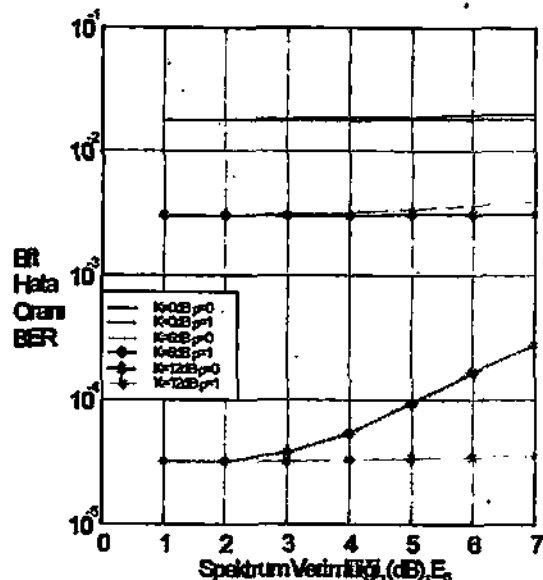
Şekil 6

Heryönlü anten sistemleri için Rician/Rayleigh sümümlenmemeli ve gülgelemeli ortamda Rice faktörünün(K) ve ilinti katsayısunun(ρ) spektrum verimliliği üzerindeki etkileri.



Şekil 5

Heryönlü anten sistemleri için Rician/Rayleigh sümümlenmemeli ve gülgelemeli ortamda Rice faktörünün(K) ve kanal başına trafigin(ac) spektrum verimliliği üzerindeki etkileri.



Şekil 7

120° yonlulu anten sistemleri için Rician/Rayleigh sümümlenmemeli ve gülgelemeli ortamda Rice faktörünün(K) ve ilinti katsayısunun(ρ) spektrum verimliliği üzerindeki etkileri.

5. SONUÇ

Frekans tekrarlama aralığının, petek büyütüğünden, Rice faktörünün, sinyal-gürültü oranının ve sinyaller arasındaki ilinti katsayısının artmasıyla bit hata oranı düşmektedir. Sektörizasyonun artmasıyla bit hata oranı azalmakta dolayısıyla sistemin başarımı artmaktadır. Ayrıca sektörizasyonun artmasıyla spektrum verimliliği artmaktadır. Hızlısal sistemin kapasitesini artırmak için hücre alanını veya petek büyütüğünü küçültmek yerine dar hızızlı sektörleri seçmek daha uygun görülmektedir.

KAYNAKLAR

- [1] W.C.Y.Lee, "Elements of Cellular Mobile Radio Systems", IEEE Trans. Veh. Tech., vol.35, no.2, pp.48-56, May 1986
- [2] A. Şafak and R. Prasad, "Effects of Correlated Shadowing Signals on Channel Reuse in Mobile Radio Systems", IEEE Trans. Veh. Tech., vol.40, no.4, pp.708-713, November 1991
- [3] G.K. Chan, "Effects of Sectorization on the Spectrum Efficiency of Cellular Radio Systems", IEEE Trans. Veh. Tech., vol.41, no.3, pp.217-225, August 1992
- [4] R. Prasad, A. Kegel and C.Rönne, "Performance Analysis of a Sectorized Mobile Microcellular Radio System with Diversity and Forward Error Correction Coding", Proc. IEEE/PIMRC'94 Conf., The Hague, the Netherlands, vol.1, pp.357-361, September 1994
- [5] T.S.P. Yum and W.S. Wang, "Hot-Spot Traffic Relief in Cellular Systems", IEEE J. Select. Areas Commun. vol. SAC-11, no.6, pp. 934-939, August 1993
- [6] R.Haas and J.C.Belfiore, "Spectrum Efficiency Limits in Mobile Cellular Systems", IEEE Trans. Veh. Tech., vol.45, no.1, pp.33-40, February 1996
- [7] G. Yang, K. Pahlavan and T.J. Holt, "Sector Antenna and DFE Modems for High Speed Indoor Radio Communications", IEEE Trans. Veh. Tech., vol. 43, no.4, pp.925-933, November 1994
- [8] H.Jiang and S.S. Rappaport, "Channel Borrowing without Locking for Sectorized Cellular Communications.", IEEE Trans. Veh. Tech., vol. 43,no.4, pp.1067-1077, November 1994